



## СИНТЕЗ ТЕРМИНАЛЬНОГО ДИСАХАРИДА АНТИГЕНА ФОРССМАНА И НЕКОТОРЫХ ЕГО АНАЛОГОВ В ВИДЕ СПЕЙСЕРИРОВАННЫХ ГЛИКОЗИДОВ И СВОБОДНЫХ ДИСАХАРИДОВ

© 1997 г. Т. В. Овчинникова, А. Г. Тер-Григорян, Г. В. Пазынина, Н. В. Бовин<sup>#</sup>

Институт биоорганической химии им. М.М. Шемякина и Ю.А. Овчинникова РАН,  
117871, Москва, ГСП-7, ул. Миклухо-Маклая, 16/10

Поступила в редакцию 29.03.96 г.

Синтезированы спейсерированные терминальный дисахарид антигена Форсмана  $\text{Gal}^{\text{N}}\text{Ac}\alpha 1-3\text{GalNAc}\beta 1-\text{Osp}$ , его аналог  $\text{GalNAc}\alpha 1-3\text{GalNAc}\alpha 1-\text{Osp}$ , дисахарида  $\text{Gal}\beta 1-3\text{GalNAc}\beta 1-\text{Osp}$  и  $\text{Gal}\alpha 1-3\text{GalNAc}\alpha 1-\text{Osp}$  ( $\text{sp} = (\text{CH}_2)_3\text{NHCOOCF}_3$ ). Спейсерированные дисахариды получены исходя из (3-трифторацетамидопропил)-2-ацетамило-4,6-О-бензилиден-2-дезокси-β-D-галактопиранозида и его α- и β-аналогов с 2-азидогруппой вместо 2-ацетамидной. При этом азидные гликозилакцепторы приводили к лучшим выходам дисахаридов. Для получения азидных гликозилакцепторов использовано стереонаправленное тликоэлизирование 3-трифторацетамидопропанола аномерной смесью 1-O-ацетатов 2-ацидо-3,4,6-три-О-ацетил-2-дезокси-D-галактопиранозы в присутствии кислот Льюиса. Исходя из бензил-2-ацетамило-4,6-О-бензилиден-2-дезокси-α-D-галактопиранозида синтезированы свободные дисахариды  $\text{Gal}\alpha 1-3\text{GalNAc}$  и  $\text{GalNAc}\alpha 1-3\text{GalNAc}$ .

**Ключевые слова:** опухолеассоциированные антигены, антиген Форсмана, олигосахаридный синтез.

Дисахаридные последовательности  $\text{Gal}1-3\text{GalNAc}$  и  $\text{GalNAc}1-3\text{GalNAc}$  – характерные фрагменты углеводных цепей многих мембранных и секретируемых гликоконъюгатов в норме и при различных патологиях, в том числе и при онкотрансформации. Дисахаридный фрагмент  $\text{Gal}\beta 1-3\text{GalNAc}\alpha$  является кором O-цепей гликопroteинов, в том числе группоспецифических АВН-антител типов 3, а также иммунодоминантной группой антигена Томсена–Фриденрейха (Т-антитела). Т<sub>ββ</sub>-дисахарид  $\text{Gal}\beta 1-3\text{GalNAc}\beta$  – является фрагментом, характерным для ганглиозидов, например GM<sub>1</sub>, а также кором для АВН-антител типов 4. Т<sub>αα</sub>-дисахаридная последовательность  $\text{Gal}\alpha 1-3\text{GalNAc}\alpha$  найдена в O-цепях гликопroteина клеточной линии PA1 тератокарциномы человека [1]. Дисахарид  $\text{GalNAc}\alpha 1-3\text{GalNAc}\beta$  (Fs) – терминальное звено антигена Форсмана [2]  $\text{GalNAc}\alpha 1-3\text{GalNAc}\beta 1-3\text{Gal}\alpha 1-4\text{Gal}\beta 1-4\text{Glc}\beta 1-1\text{Cer}$ . Его α,α-аналог  $\text{GalNAc}\alpha 1-3\text{GalNAc}\alpha$  (Fs<sub>aa</sub>) найден в составе кора O-цепей гликопroteина адено карциномы человека  $\text{GalNAc}\alpha 1-3(\text{Neu}5\text{Ac}\alpha 2-6)\text{GalNAc}\alpha$  [3].

Для изучения и характеристики углеводных опухолеассоциированных антигенов и углеводсвязывающих белков, в том числе моноклональных антител и лектинов, а также для поиска новых опухолевых маркеров успешно используются синте-

тические олигосахариды и полученные на их основе неогликоконъюгаты. Целью данной работы был синтез дисахаридов в виде 3-(трифторацетамидо)пропилгликозидов (I)–(IV), а также свободных дисахаридов (V) и (VI):

$\text{GalNAc}\alpha 1-3\text{GalNAc}\beta 1-\text{Osp}$  (I) (Fs),  
 $\text{Gal}\beta 1-3\text{GalNAc}\beta 1-\text{Osp}$  (II) (T<sub>ββ</sub>),  
 $\text{GalNAc}\alpha 1-3\text{GalNAc}\alpha 1-\text{Osp}$  (III) (Fs<sub>aa</sub>),  
 $\text{Gal}\alpha 1-3\text{GalNAc}\alpha 1-\text{Osp}$  (IV) (T<sub>αα</sub>),  
 $\text{Gal}\alpha 1-3\text{GalNAc}$  (V),  
 $\text{GalNAc}\alpha 1-3\text{GalNAc}$  (VI).

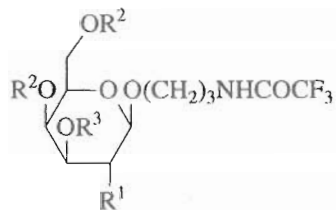
Синтезы T<sub>αα</sub>- и Fs-дисахаридов в виде метилгликозидов и синтез различных T<sub>ββ</sub>-гликозидов опубликованы в ряде работ, например [4–7]. T<sub>αα</sub>- и T<sub>ββ</sub>-дисахариды в виде 3-трифторацетамидопропилгликозидов – соединения (I) и (IV) также были ранее синтезированы в нашей лаборатории [8, 9]. Полученные на их основе неогликоконъюгаты [10] были использованы для характеристики эпиполной специфичности моноклональных антител и лектинов [11–13]. В настоящей работе мы предлагаем другие варианты их синтеза.

### СИНТЕЗ СПЕЙСЕРИРОВАННЫХ ДИСАХАРИДОВ

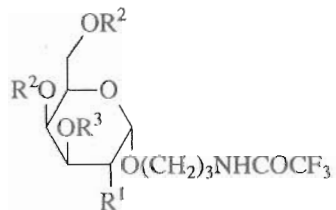
В качестве гликозилакцепторов были использованы 4,6-бензилиденовые производные (VII) и (VIII) 2-ацетамило- и 2-азидо-2-дезоксигалактозы –

Сокращения: Bd – бензилиден, Bn – бензил, Cer – церамид, sp =  $(\text{CH}_2)_3\text{NHCOOCF}_3$ .

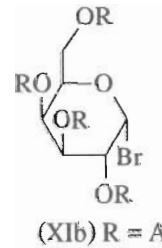
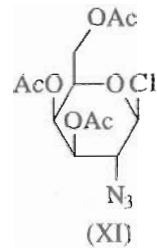
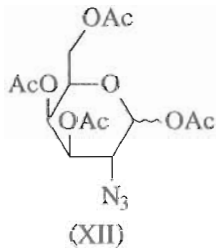
<sup>#</sup> Автор для переписки.



- (VII)  $R^1 = \text{NHAc}$ ,  $R^2R^2 = \text{Bd}$ ,  $R^3 = \text{H}$  [(VIIa) –  $\alpha$ -аномер]  
 (VIII)  $R^1 = \text{N}_3$ ,  $R^2R^2 = \text{Bd}$ ,  $R^3 = \text{H}$   
 (X)  $R^1 = \text{NHAc}$ ,  $R^2 = R^3 = \text{Ac}$   
 (Xa)  $R^1 = \text{NHAc}$ ,  $R^2 = R^3 = \text{H}$   
 (XIIb)  $R^1 = \text{N}_3$ ,  $R^2 = R^3 = \text{Ac}$



- (VIIa)  $R^1 = \text{NHAc}$ ,  $R^2R^2 = \text{Bd}$ ,  $R^3 = \text{H}$   
 (IX)  $R^1 = \text{N}_3$ ,  $R^2R^2 = \text{Bd}$ ,  $R^3 = \text{H}$   
 (XIIa)  $R^1 = \text{N}_3$ ,  $R^2 = R^3 = \text{Ac}$  [(XIIb) –  $\beta$ -аномер]



для синтеза  $\beta$ -галактозаминидов (I) и (II), а также 4,6-бензилиденовое производное 2-азидо-2-дезоксигалактозы (IX) – для синтеза  $\alpha$ -галактозаминидов (III) и (IV).

Гликозилакцептор (VII) был получен ранее из ацетилированного  $\beta$ -гликозида (X) [14] дез- $O$ -ацетилированием и последующим бензилиденированием  $\alpha,\alpha$ -диметокситолуолом (выход 84%). Аналогичное 2-азидопроизводное (VIII) первоначально было получено нами как побочный продукт синтеза  $\alpha$ -галактозида (IX) [9] при гликозилировании 3-трифторацетамидопропанола 2-азидо-3,4,6-три- $O$ -ацетил-2-дезокси- $\beta$ -D-галактопиранозилхлоридом (XI) в условиях реакции Гельфераха ( $\text{Hg}(\text{CN})_2/\text{HgBr}_2$ , бензол/нитрометан) с последующим дез- $O$ -ацетилированием и бензилиденированием. В данной работе для получения соединений (VIII) и (IX) мы использовали другой подход – катализируемое кислотами Льюиса гликозилирование 3-трифторацетамидопропанола аномерной смесью 2-азидо-1- $O$ -ацетатов (XII) [15] с последующим дез- $O$ -ацетилированием и бензилиденированием. Мы нашли условия, позволяющие получить преимущественно  $\alpha$ - или  $\beta$ -гликозид. Так, катализ  $\text{SnCl}_4$  приводит к образованию  $\beta$ -аномера (XIIb) с выходом 67% (77% с учетом непрореагировавшего 1- $O$ -ацетата), а реакция в присутствии  $\text{BF}_3\text{Et}_2\text{O}$  дает  $\alpha$ -аномер (XIIa) с выходом 54% (73% с учетом непрореагировавшего 1- $O$ -ацетата), при этом, по данным ЯМР, аномерная чистота получающихся гликозидов составляет 90–95%.

Гликозид (I) дисахарида Форссмана получали, используя в качестве гликозилдонора для введения  $\alpha$ -GalNAc-звена ацетилированный азидохлорид (XI) (схема 1). Гликозилирование 2-ацетамидного акцептора (VII) в присутствии карбоната и перхлората серебра в дихлорметане с последующим превращением азидной группы в ацетамидную дало дисахарид (XIV) (53%), деблокированием которого был получен Fs-дисахарид (I). Для синтеза  $T_{\beta\beta}$ -дисахарида (II) соединение (VII) гликозилировали ацетобромгалактозой (XIb) в присутствии трифлата серебра в дихлорметане при комнатной температуре (выход 50%). После дебензилиденирования и ацетилирования 4,6-диола получен пер-ацетат (XXI), дез- $O$ -ацетилирование которого дало гликозид (II)  $T_{\beta\beta}$ -дисахарида (полученный ранее в работе [9] из свободного дисахарида  $\text{Gal}\beta 1\text{-3GalNAc}$ ).

Использование 2-азидного гликозилакцептора (VIII) вместо ацетамидного (VII) дало лучшие результаты (схема 2): выходы на стадии гликозилирования (в тех же условиях)  $T_{\beta\beta}$ - и Fs-гликозидов (XXII) и (XV) составили 80 и 70% соответственно, а при гликозилировании в присутствии карбоната и трифлата серебра соединение (XV) было получено с выходом 77%.

Гликозид (III) Fs<sub>αα</sub>-дисахарида получали, вводя  $\alpha$ -GalNAc-звено так же, как и в случае Fs-дисахарида, причем использование азидного гликозилакцептора (IX) дало 95%-ный выход дисахарида (XXIII) на стадии гликозилирования (схема 3).

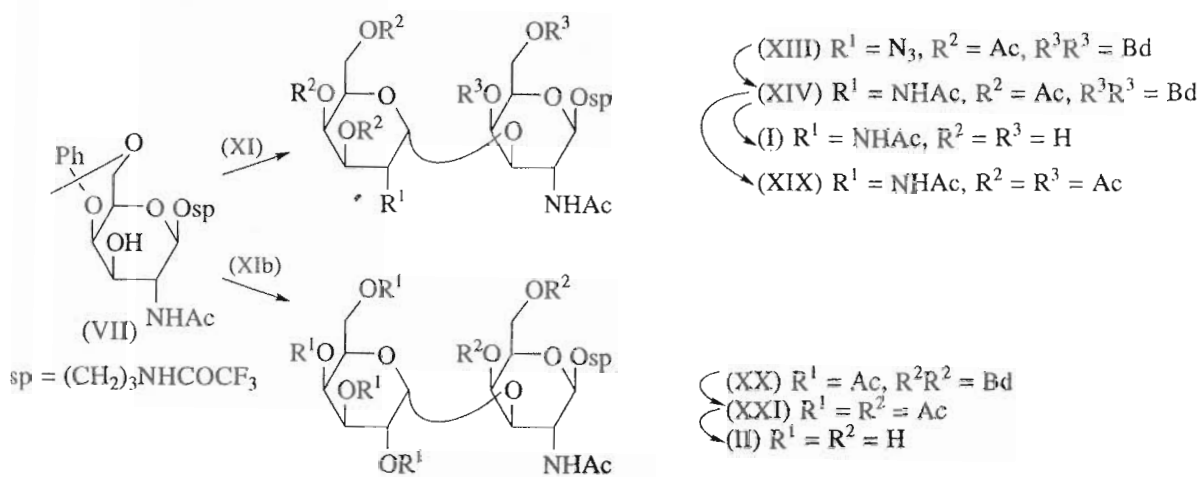


Схема 1.

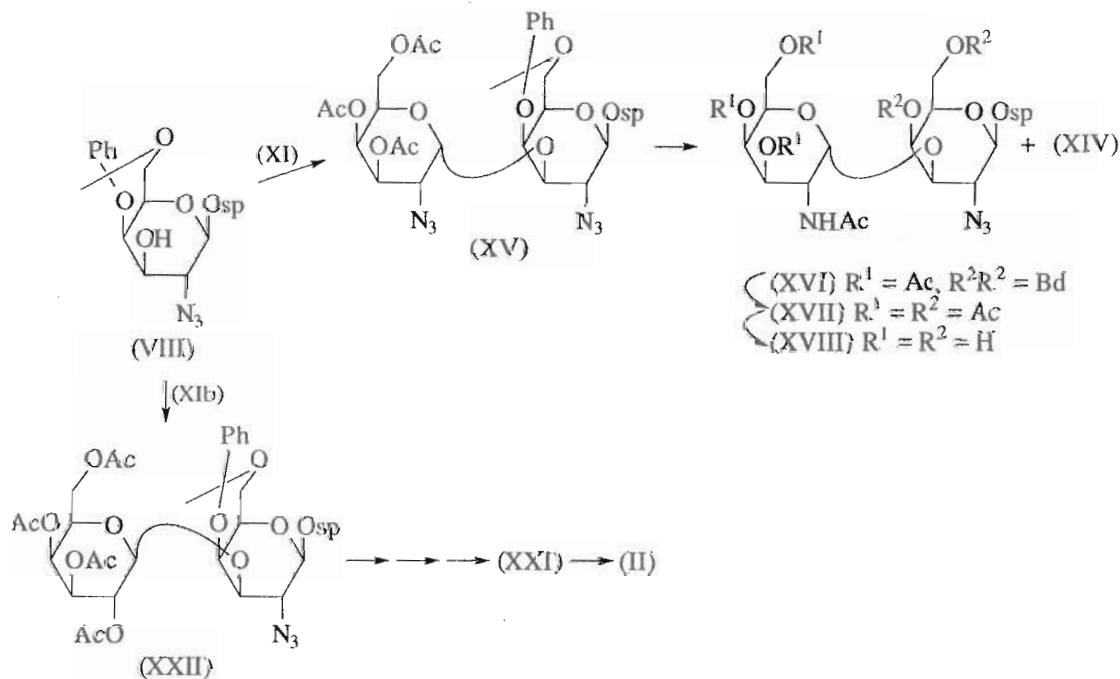


Схема 2.

Синтез гликозида (IV)  $T_{\alpha\alpha}$ -дисахарида исходя из 2-ацетамидного производного (VIIa) описан нами ранее в работе [8]:  $\alpha$ -галактозилирование акцептора (VIIa) проводили тетра-O-бензил- $\alpha$ -D-галактопиранозилбромидом (XIc) в бензоле в присутствии цианида ртути, однако реакция протекала нестереоспецифично и с низким выходом (23% целевого дисахарида). Использование азидного гликозилакцептора (IX) (схема 3) и в этом случае дало лучшие результаты: суммарный выход  $\alpha,\alpha$ -(XXV) и  $\beta,\alpha$ -дисахаридов (XXVb) на стадии гликозилирования (в тех же условиях) составил 90%, соотношение  $\alpha/\beta$ -аномеров – 6 : 1. Успешное использование

производных 2-азидо-2-дезоксигалактозы для синтеза  $T_{\alpha\alpha}$ - и Fs-дисахаридов описано также в работах [4, 5].

Превращение азидной группы в ацетамидную и удаление защитных групп во всех описанных синтезах проводили одними и теми же стандартными методами с удовлетворительными выходами (см. "Экспериментальную часть"). Однако здесь следует отметить неожиданно трудное восстановление азидных групп в Fs-гликозиде. Так, гидрогенолиз бис-азида (XV) с последующим N-ацетилированием дал бис-ацетамидное производное (XIV) с выходом 50%. При этом после удаления защитных

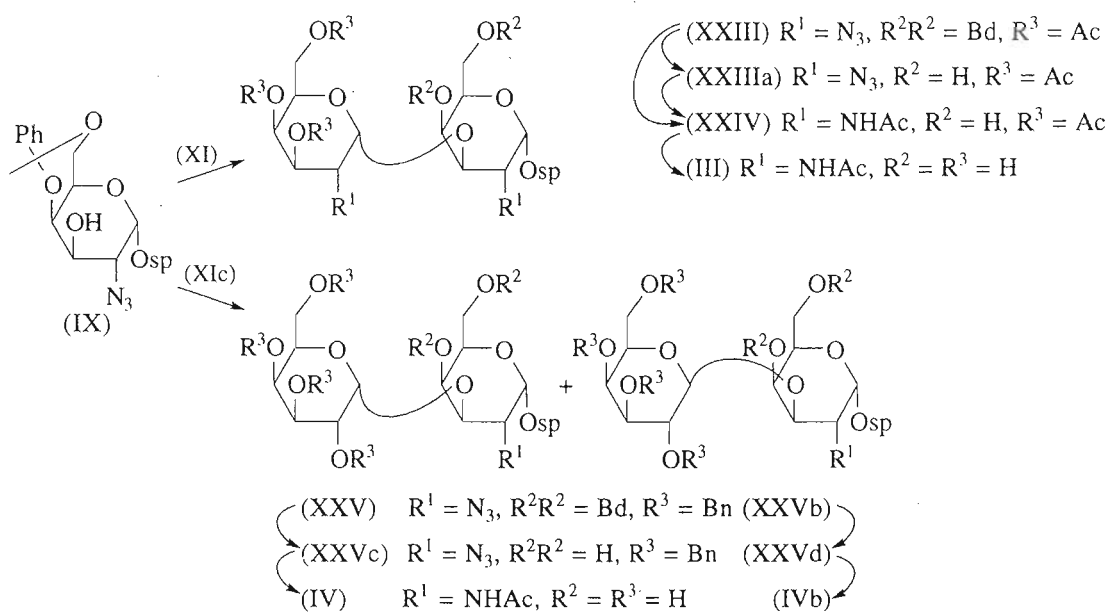


Схема 3.

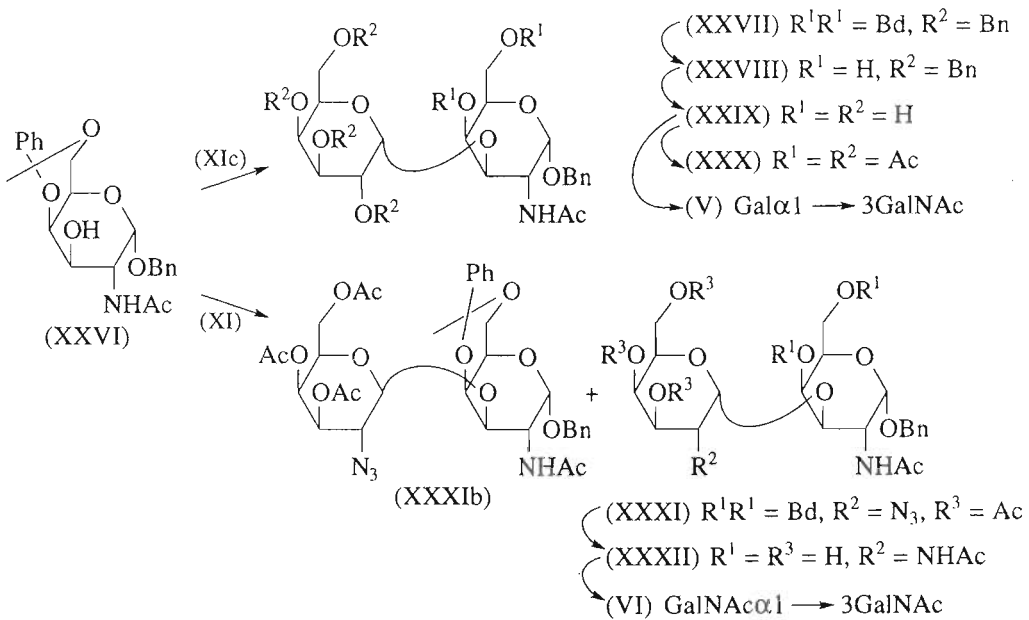


Схема 4.

групп в качестве побочного продукта было выделено соединение (XVIII), содержащее NHAc-группу в  $\alpha$ - и азидную группу в  $\beta$ -Gal-звене (схема 2). Поскольку ничего подобного не наблюдалось для  $\alpha,\alpha$ -аналога дисахарида Форссмана, мы предполагаем, что низкие выходы этой реакции связаны с пониженной реакционной способностью 2-азидной группы в  $\beta$ -Gal-звене. Интересно, что в работе [16] также была замечена необычно низкая реакционная способность 2-ацетамидной группы в (3-трифторацетамидопропил)-2-ацетамидо-3,4,6-три-O-ацетил-2-дезокси- $\beta$ -D-галактопиранозиде (X) по

сравнению с аналогичным  $\alpha$ -галактозаминидом в реакции тионирования.

### СИНТЕЗ СВОБОДНЫХ ДИСАХАРИДОВ

Дисахариды (V) и (VI) синтезированы из одного предшественника – производного  $\alpha$ -бензил-N-ацетилгалактозаминида (XXVI) [17] со свободной гидроксильной группой при C-3 (схема 4). Дисахарид (V) получали, вводя  $\alpha$ -галактозное звено также, как и в случае получения сплайсированного  $T_{\alpha\alpha}$ -гликозида (XXV): в качестве гликозидонора

был использован бромид (XIc), реакцию проводили в бензole в присутствии цианида ртути. В отличие от аналогичного  $\alpha$ -3-трифторацетамидопропил)гликозида (VIIa) [8] (см. выше)  $\alpha$ -бензил-N-ацетилгалактозаминид (XXVI) реагировал стереоспецифично и с выходом 85% дал  $\alpha$ , $\alpha$ -гликозид (XXVII). Далее соединение (XXVII) деблокировали по обычной схеме. Дебензилиденирование проводили в присутствии перхлората пиридиния [18], поскольку обработка уксусной кислотой давала неудовлетворительные результаты. Трудности встретились и при удалении бензильных защитных групп: в то время как деблокирование галактозного звена протекало гладко (гидрогенолиз над 10% Pd/C, 1 сут, комнатная температура, выход  $\alpha$ -бензилгликозида (XXIX) – 80%), удаление бензильной группы из бензилгликозида (XXIX) шло с большим трудом, даже после 14 сут гидрогенолиза при повышенной температуре в реакционной смеси оставалось заметное количество (25%) исходного вещества. Попытки дебензилирования соединения (XXIX) ацетолизом не привели к успеху: в стандартных условиях (обработка раствором 0.5%  $H_2SO_4$  в  $Ac_2O$ , 0–20°C) ацетолиз шел медленно и дал низкий выход целевого дисахарида.

Дисахарид (VI) синтезирован исходя из соединения (XXVI) по схеме, описанной выше для спирецированных  $Fs$ - и  $Fs_{\alpha\alpha}$ -дисахаридов (III) и (IV): выделенный после гликозилирования азидохлоридом (XI) (карбонат серебра/перхлорат серебра, дихлорметан) основной продукт реакции  $\alpha$ -гликозид (XXXI) (выход 56%) содержал в качестве примеси  $\beta$ -изомер (XXXIb) (соотношение  $\alpha/\beta$  составило 12 : 1). Деблокирование и превращение азидной группы в ацетамидную протекало без осложнений, однако, как и в случае дисахарида (V), для получения свободного дисахарида (VI) из  $\alpha$ -бензилгликозида (XXXII) полнота дебензилирования достигалась длительным гидрогенолизом при повышенной температуре.

Структура полученных соединений установлена по данным  $^1H$ - и  $^{13}C$ -ЯМР-, ИК- и FAB-массспектрометрии и подтверждена для кристаллических веществ данными элементного анализа.

## ЭКСПЕРИМЕНТАЛЬНАЯ ЧАСТЬ

### *Общие методы*

Температуры плавления определяли на приборе Boeius (ГДР). Оптическое вращение измеряли на поляриметре JASCO DIP-360 (Япония) при 20–25°C. Спектры ЯМР снимали на приборах Bruker WM-500 (рабочая частота 500 МГц), WM-250 (с рабочей частотой 250 МГц, по  $^1H$  и 62.89 МГц по  $^{13}C$ ), Varian SC-300 (300 МГц) при 303–305 К, значения химических сдвигов ( $\delta$ , м. д.) приведены относительно тетраметилсилана, константы спин-спинового взаимодействия измерены в герцах. Масс-

спектры сняты на приборе Kratos MS 50 TC (FAB, энергия атомов ксенона 8 кэВ, стандартная матрица – глицерин).

ТСХ проводили на пластинках Kieselgel 60 (Merck), вещества обнаруживали 5% водным раствором серной или фосфорной кислоты при 150°C (углеводы), нингидрином (аминосоединения). Для свободных олигосахаридов использовали следующие системы растворителей:  $EtOH$ – $BuOH$ – $Py$ – $H_2O$ – $AcOH$ , 100 : 10 : 10 : 3 (A),  $CHCl_3$ – $EtOH$ – $H_2O$ , 3 : 8 : 2 (B). Для колоночной хроматографии использовали силикагель 40/100 мкм (Chemapol, ЧСФР). ВЭЖХ проводили на приборе фирмы LKB 2150 с УФ-детектором 2140 (детекция при 200–254 нм). Для аналитических целей использовали колонку Separon SGX C18, 7 мкм (4.6 × 250 мм) (Tessek); для препаративной хроматографии – колонки Partisil 10 ODS-3 (10 × 250 мм), Partisil 10 (10 × 250 мм) (Whatman), Силасорб C18, 5 мкм (24 × 250 мм) ("Хроматосервис", Россия) и Zorbax Sil (9.4 × 250 мм) (Du Pont).

Растворители для гликозидного синтеза абсолютизировали и хранили над молекулярными ситами; твердые реагенты высушивали 2 ч в вакууме (0.1 мм рт. ст.) при 20–40°C. Растворители упаривали в вакууме при 30–40°C.

Перацетилирование проводили смесью уксусного ангидрида и пиридина (1 : 2) при 20°C в течение 12–24 ч.

Дез-О-ацетилирование проводили по Земплену в абс. метаноле, добавляя к раствору ацилпроизводного катализитическое количество 1 М раствора метилата натрия в метаноле; по окончании реакции ионы  $Na^+$  удаляли катионитом IR-120 ( $H^+$ ) и раствор упаривали.

Дебензилиденирование осуществляли обработкой 60% уксусной кислотой (или раствором 60% уксусная кислота–ацетонитрил, 2 : 1, для труднорастворимых веществ с большим количеством бензильных групп) при 70–80°C в течение 2–6 ч, после чего раствор упаривали досуха.

Для превращения азидной группы в ацетамидную проводили гидрогенолиз соединений над 10% Pd/C (в равном весовом отношении) в смеси  $MeOH$ – $AcOH$ , 20 : 1, в течение 16–48 ч, при этом происходит одновременное удаление бензильных защитных групп в бензилированных соединениях.

**(3-Трифторацетамидопропил)-2-ацетамиdo-4,6-O-бензилиден-2-дезокси- $\beta$ -D-галактопиранозид (VII).** 0.35 г (0.7 ммоль) ацетата (X) [14] дезацетилировали по Земплену. Аналитический образец (3-трифторацетамидопропил)-2-ацетамиdo-2-дезокси- $\beta$ -D-галактопиранозида (Xa) получили после ВЭЖХ (элюция 5–40% метанолом в воде), т. пл. 195°C (этанол–этилацетат),  $[\alpha]_D$  –19° (с 1, метанол). Данные  $^1H$ - и  $^{13}C$ -ЯМР приведены в табл. 1 и 5 соответственно. Найдено, %: C 41.84; H 5.70;

Таблица 1. Данные спектров  $^1\text{H}$ -ЯМР моносахаридов (VII), (VIII), (IX), (Xa)\*

Соединение (растворитель)	H-1 ( $J_{1,2}$ )	H-2 ( $J_{2,3}$ )	H-3 ( $J_{3,4}$ )	H-4 ( $J_{4,5}$ )	H-5 ( $J_{5,6a}$ )	H-6a ( $J_{5,6b}$ )	NHAc ( $J_{\text{NH},2}$ )	Ac	PhCH <sub>2</sub>	OH ( $J_{3,\text{OH}}$ )	CCH <sub>2</sub>	CH <sub>2</sub> N	CH <sub>2</sub> O
(VII)	4.38д	3.80м	3.65м	4.10д	—	—	—	7.60д	1.83с	5.61с	4.96д	1.72м	—
(DMSO- $d_6$ )	(9.0)	(3.5)	( $<1.0$ )	**	4.18д	4.32м	4.08дд	—	—	—	(6.0)	—	—
(VIII)	4.29д	**	**	**	4.18д	4.32м	4.08дд	—	—	—	5.58с	2.75д	1.94м
(CDCl <sub>3</sub> )	(7.5)	(2.5)	( $<1.0$ )	(1.7)	(1.7)	(1.7)	(1.7)	(1.3)	—	—	(9.0)	—	—
(IX)	4.99д	3.77дд	4.11дд	4.31д	3.74м	4.29дд	4.05дд	—	—	—	5.60с	2.52д	1.90м
(CDCl <sub>3</sub> )	(3.0)	(10.0)	(3.5)	( $<1.0$ )	(1.0)	(1.5)	(1.5)	(1.3)	—	—	(9.0)	—	—
(Xa)	4.40к	3.87дд	4.69дд	3.91д	3.64м	3.79м	3.73м	—	—	—	2.02с	—	—
(D <sub>2</sub> O)	(8.0)	(11.0)	(3.0)	( $<1.0$ )	(7.5)	(4.5)	(4.5)	(1.1)	—	—	—	—	3.92м

\* Съемка спектров производилась на приборах с рабочей частотой 250 МГц (соединения (VII), (IX), (Xa)) и 500 МГц (соединение (VIII)).

\*\* H-2, H-3: 3.62 м.

Таблица 2. Данные спектров  $^1\text{H}$ -ЯМР защищенных биозидов (XIV), (XV), (XVII), (XIX), (XXI), (XXIII)-(XXV)\*

Соединение, звено**	H-1 ( $J_{1,2}$ )	H-2 ( $J_{2,3}$ )	H-3 ( $J_{3,4}$ )	H-4 ( $J_{4,5}$ )	H-5 ( $J_{5,6a}$ )	H-6a ( $J_{5,6b}$ )	NHAc ( $J_{NH,2}$ )	PhCH <sub>2</sub>	NHCOCF <sub>3</sub>	Ac
(XIV) GalNAc $\beta$ 1-	5.10д (3.5)	4.59дд (11.5)	5.06дд (3.0)	5.38д (<1.0)	4.21м (4.30д <1.0)	—	—	5.87д (9.5) (8)	5.51с	7.21м 2.03, 2.10 2.15
-3GalNAc $\beta$ 1-Osp	4.85д (8.5)	4.01м (3.5)	4.19д (3.5)	4.30д (<1.0)	3.52м (1.0)	—	—	6.09д (11.0) (12.0)	5.61с	7.07м 2.05, 2.07, 2.16
(XV) Gal(N <sub>3</sub> ) $\alpha$ 1-	5.24д (3.5)	3.67дд (11.0)	5.45дд (3.0)	5.54дд (1.0)	4.52м (6.5)	4.16дд (6.5)	4.07дд (11.0)	—	—	1.37, 1.96, 2.03, 2.10 2.15
-3Gal(N <sub>3</sub> ) $\beta$ 1-Osp	4.37д (7.7)	3.89дд (10.0)	3.65дд (3.5)	4.32д (<1.0)	3.45м (1.5)	4.37дд (1.5)	4.13дд (12.0)	—	—	—
(XIX) GalNAc $\beta$ 1-	4.97д (3.5)	4.59дд (12.0)	4.94дд (3.5)	4.94дд (<1.0)	5.35д (1.0)	—	—	6.64д (10.5)	—	1.98, 2.00, 2.02, 2.05, 2.10, 2.17 2.22
-3GalNAc $\beta$ 1-Osp	4.90д (8.5)	3.51дд (10.5)	4.38дд (3.5)	4.38дд (<1.0)	5.35д (7.0)	3.90т (7.0)	—	6.60д (8)	—	—
(XVII) GalNAc $\alpha$ 1-	5.03д (3.5)	4.67дд (12.0)	5.16дд (3.5)	5.16дд (1.2)	5.43дд (6.5)	4.49м (6.5)	4.17дд (11.5)	5.62д (10)	—	2.00, 2.01, 2.06, 2.17 2.21
-3Gal(N <sub>3</sub> ) $\beta$ 1-Osp	4.38т (8)	***	***	5.31с (<1.0)	3.59м (5.31с (<1.0))	4.12м (7.0)	4.12м (12.0)	—	6.99м (9.5)	—
(XXI) Gal $\beta$ 1-	5.06д (8)	5.16дд (10.5)	4.99дд (3.5)	5.38д (2.5)	5.44д (<1.0)	—	—	5.86д (7.5)	—	1.99, 2.09, 2.11, 2.14
-3GalNAc $\beta$ 1-Osp	4.64д (7.5)	3.70дд (10.5)	4.50дд (2.5)	5.56дд (1.0)	4.37м (1.2)	—	—	4.09дд (10.5)	—	2.04, 2.05, 2.16
(XXIII) Gal(N <sub>3</sub> ) $\alpha$ 1-	5.33д (3.5)	3.64дд (11.0)	5.50дд (3.0)	3.22дд (3.5)	4.47д (1.0)	4.37м (6.5)	4.16дд (6.0)	4.09дд (10.5)	—	—
-3Gal(N <sub>3</sub> ) $\alpha$ 1-Osp	5.05д (3.5)	—	5.10дд (11.0)	5.10дд (11.5)	5.42дд (3.0)	3.72м (1.5)	4.32дд (1.5)	4.14дд (12.5)	5.62с	—
(XXIV) GalNAc $\alpha$ 1-	5.14д (3.7)	4.51дд (11.5)	4.59дд (11.0)	4.09д (3.0)	4.31м (7.0)	4.22дд (6.5)	4.14дд (10.5)	—	—	1.97, 1.99, 2.05, 2.11, 2.17
-3GalNAc $\beta$ 1-Osp	4.82д (3.5)	5.32д (2.5)	4.13м (7.7)	4.10м (2.5)	3.96с (7.0)	—	3.60дд (7.0)	3.48дд (9.5)	—	—
(XXV) Gal $\alpha$ 1-	—	4.21м (7.7)	4.18м (4.06с)	—	3.56м (3.98м)	—	3.98м (4.25м)	5.47с	—	—
-3Gal(N <sub>3</sub> ) $\alpha$ 1-Osp	4.98д (7.7)	—	—	—	—	—	—	—	—	—

\* Съемка спектров производилась в  $\text{CDCl}_3$  (соединения XIV, XV, XVII, XXI, XXII, XXIV, XXV) и  $\text{CD}_3\text{OD}$  (XXIII) на приборах с рабочей частотой 250 МГц (соединения XV, XVII, XXI, XXII, XXIV). Сигналы 3-триглерациетамидопропильной группы  $\text{OCH}_2\text{CH}_2\text{CH}_2\text{N}^+ \text{H}_3$ : 3.3–3.6, 1.8–2.0, 3.5–4.1.

\*\* Зашиты не указаны – см. схемы 1–4.

\*\*\* H-2, H-3: 3.50–3.65.

Таблица 3. Данные спектров  $^1\text{H}$ -ЯМР защищенных бензилгликозидов (XXVII), (XXX), (XXXI), (XXXIb), (XXXII)\*

Соединение, звено (растворитель)**	H-1 ( $J_{1,2}$ )	H-2 ( $J_{2,3}$ )	H-3 ( $J_{3,4}$ )	H-4 ( $J_{4,5}$ )	H-5	NHAc ( $J_{\text{NH},2}$ )	PhCH	CHaPh ( $J_{\text{Ha},\text{Ha}}$ )	CHbPh	Ac
(XXVII) Gal $\alpha$ 1- (CDCl <sub>3</sub> )	5.07д (3.5)	4.10дд (11.0)	4.24дд (3.5)	—	—					1.80
-3GalNAc $\alpha$ 1-OBn (CDCl <sub>3</sub> )	5.12д (3.5)	—	—	—	—	5.96д (8.5)	5.35с	—	—	
(XXX) Gal $\alpha$ 1- (CDCl <sub>3</sub> )	5.20д (3.4)	5.27дд (11.0)	5.12дд (3.0)	5.41дд (0.9)	4.43м					1.84, 1.92, 1.98, 2.05,
-3GalNAc $\alpha$ 1-OBn (CDCl <sub>3</sub> )	4.91д (3.7)	4.65м (11.3)	3.92дд (3.0)	5.35д (<1.0)	—	5.87д (10.0)		4.68д (11.6)	4.49д	2.06, 2.13, 2.14
(XXXI) Gal(N <sub>3</sub> ) $\alpha$ 1- (CDCl <sub>3</sub> )	5.17д (3.5)	3.62дд (11.0)	5.27дд (3.0)	5.46д (1.0)	4.42т					1.92, 2.00, 2.02, 2.14
-3GalNAc $\alpha$ 1-OBn (CDCl <sub>3</sub> )	5.10д (3.5)	4.78ддд (11.0)	3.95дд (3.0)	4.37д (<1.0)	3.68м	5.68д (8.5)	5.61с (11)	4.70д (11)	4.54д	
(XXXIb) Gal(N <sub>3</sub> ) $\beta$ 1- (D <sub>2</sub> O)	4.42д (8.0)	3.78дд (10.5)	4.76дд (3.0)	5.33д (<1.0)	3.83т					1.96, 2.05, 2.05, 2.14
-3GalNAc $\alpha$ 1-OBn (CDCl <sub>3</sub> )	5.18д (3.5)	4.82ддд (11.0)	3.95дд (3.0)	4.37д (<1.0)	3.67м	5.54д (10.0)	5.56с (11.5)	4.73д (11.5)	4.57д	
(XXXII) GalNAc $\alpha$ 1- (D <sub>2</sub> O)	5.03д (3.7)	4.16дд (11.0)	3.71дд (3.0)	3.93д (<1.0)	3.80м					1.96, 1.99
-3GalNAc $\alpha$ 1-OBn (D <sub>2</sub> O)	4.95д (4.0)	4.32дд (11.0)	3.97дд (3.0)	4.14д (<1.0)	3.95м			4.74д (11.5)	4.53д	

\* Съемка спектров производилась на приборах с рабочей частотой 250 МГц (соединения (XXVII), (XXX), (XXXII)) и 500 МГц ((XXXI), (XXXIb)). Сигналы H-6а, H-6б: 4.0–4.3 (XXVII, XXX, XXXI, XXXIb), 3.6–3.8 (XXXII).

\*\* Защиты не показаны.

N 7.47. C<sub>13</sub>H<sub>21</sub>F<sub>3</sub>N<sub>2</sub>O<sub>7</sub>. Вычислено, %: C 41.7; H 5.7; N 7.5. Полученный после дез-О-ацетилирования триол (Xa) суспендировали в 10 мл ацетонитрила, прибавили 0.21 мл (1.4 ммоль)  $\alpha,\alpha$ -диметокситолуола, нагрели смесь при перемешивании до 50°C и прибавили 5 мг *n*-толуолсульфокислоты. Через 1 ч раствор охладили до комнатной температуры и оставили на 1 сут. Выпавшие кристаллы отделили и перекристаллизовали из этанола (выделили 120 мг соединения (VII)). В маточники добавили 0.5 мл пиридина, смесь упарили, остаток промыли эфиром и хроматографировали на колонке с силикагелем (элюция смесью хлороформ–метанол, 30 : 1–9 : 1). Суммарный выход бензилиденового производного (VII) составли 270 мг (84%), т. пл. 215–217°C,  $[\alpha]_D$  –13° (с 0.5, метанол). Данные спектра  $^1\text{H}$ -ЯМР приведены в табл. 1. Найдено, %: C 51.73; H 5.60; N 5.95. C<sub>20</sub>H<sub>25</sub>F<sub>3</sub>N<sub>2</sub>O<sub>7</sub>. Вычислено, %: C 51.95; H 5.45; N 6.1.

**(3-Трифторацетамидопропил)-2-азидо-4,6-О-бензилиден-2-дезокси- $\beta$ -D-галактопиранозид (VIII).** Раствор 1.9 г (5 ммоль) аномерной смеси 1-O-ацетатов 2-азидо-3,4,6-три-O-ацетил-2-дезокси-D-галактопиранозы (XII) [15], 1.0 г (5.85 ммоль) 3-три-

фторацетамидопропанола и 0.6 мл (5 ммоль) SnCl<sub>4</sub> в 20 мл дихлорметана выдержали 48 ч при 37°C в присутствии молекулярных сит 4 Å, затем выпустили в лед, органическую фазу экстрагировали хлороформом, объединенные экстракты последовательно промывали водой, раствором бикарбоната натрия, водой, высушивали над сульфатом натрия. После концентрирования реакционную смесь хроматографировали на силикагеле (элюция 0–20% этилацетатом в бензоле), выделили 0.28 г (15%) исходного ацетата (XII) и 1.63 г (67%) (3-трифторацетамидопропил)-2-азидо-3,4,6-три-O-ацетил-2-дезокси- $\beta$ -D-галактопиранозида (XIIb) (90–95% аномерной чистоты по данным  $^1\text{H}$ -ЯМР), из которого после дез-О-ацетилирования и бензилиденирования (по методике, приведенной выше для соединения (VII)) с последующей хроматографией на силикагеле (элюция смесью гексан–этилацетат, 1 : 1–1 : 4) выделили бензилиденовое производное (VIII), сироп,  $[\alpha]_D$  –12° (с 1.8, хлороформ). Данные спектра  $^1\text{H}$ -ЯМР приведены в табл. 1.

**(3-Трифторацетамидопропил)-2-азидо-4,6-О-бензилиден-2-дезокси- $\alpha$ -D-галактопиранозид (IX).** Аналогично описанному выше для  $\beta$ -гликозида

Таблица 4. Данные спектров  $^1\text{H}$ -ЯМР биозидов (I)–(IV), (XVIII) ( $\text{D}_2\text{O}$ , 250 МГц)\*

Соединение, звено**	H-1 ( $J_{1,2}$ )	H-2 ( $J_{2,3}$ )	H-3 ( $J_{3,4}$ )	H-4 ( $J_{4,5}$ )	H-5 ( $J_{5,6a}$ )	H-6a ( $J_{5,6b}$ )	H-6b ( $J_{6a,6b}$ )	Ac
(I) GalNAc $\alpha$ 1-	5.04д (3.5)	4.19дд (11.0)	3.75дд (3.0)	3.98д (<1.0)	3.82м		3.60–3.85	2.01с 2.03с
	-3GalNAc $\beta$ 1-Osp	4.48д (8.0)	4.02дд (11.0)	3.77дд (3.0)	4.09д (<1.0)	3.67м	3.60–3.85	
(II)*** Gal $\beta$ 1-	4.46д (7.5)	3.55дд (10.0)	3.63дд (3.0)	3.93д (<1.0)	–	–	–	2.05с
	-3GalNAc $\beta$ 1-Osp	4.51д (8.5)	4.02дд (10.5)	3.89дд (3.0)	4.20д (<1.0)	–	–	–
(III) GalNAc $\alpha$ 1-	5.09д (3.5)	4.23дд (11.0)	3.78дд (3.5)	4.03д (<1.0)		3.75–3.90		2.06с 2.09с
	-3GalNAc $\alpha$ 1-Osp	4.91д (3.5)	4.40дд (11.0)	4.02дд (3.0)	4.18д (<1.0)	3.91м	3.75–3.90	
(IV) Gal $\alpha$ 1-	5.12д (3.5)	3.82дд (10.0)	3.73дд (3.0)	3.97д (<1.0)	3.86т	3.77м	3.74м	2.08с
	-3GalNAc $\alpha$ 1-Osp	4.88д (3.8)	4.37дд (11.0)	4.02дд (3.0)	4.22д (<1.0)	3.92т	3.78м	3.75м
(XVIII) GalNAc $\alpha$ 1-	5.13д (3.5)	4.26дд (11.0)	4.01дд (3.2)	4.08д (<1.0)	4.20м	3.80м	3.78м	2.06с
	-3Gal(N <sub>3</sub> ) $\beta$ 1-Osp	4.50д (8.0)	3.64дд (11.0)	3.79дд (3.0)	4.12д (<1.0)	3.63м (7)	3.81дд (4.5)	3.74дд (11.0)

\* Сигналы 3-трифторацетамидопропильной группы  $\text{OCH}_2\text{CH}_2\text{CH}_2\text{N}$ : 3.3–3.6; 1.8–2.0; 3.5–4.1.

\*\* Защиты не показаны.

\*\*\* 500 МГц.

(VIII) из 3.62 г (9.7 ммоль) аномерной смеси 1-О-ацетатов 2-азидо-3,4,6-три-О-ацетил-2-дезокси-D-галактопиранозы (XII), 1.9 г (11 ммоль) 3-трифторацетамидопропанола и 0.7 мл (50 ммоль)  $\text{Et}_2\text{O} \cdot \text{BF}_3$  в 40 мл дихлорметана получили 0.93 г (22%) исходного ацетата и 2.55 г (54%) (3-трифторацетамидопропил)-2-азидо-3,4,6-три-О-ацетил-2-дезокси- $\alpha$ -D-галактопиранозида (XIIa) (90–95% аномерной чистоты по данным  $^1\text{H}$ -ЯМР). 0.97 г (2 ммоль)  $\alpha$ -гликозида (XIIa) дезацетилировали, бензилиденировали (см. выше) и после колоночной хроматографии (элюция смесью гексан–этилакетат, 2 : 1–1 : 2) выделили 760 мг (85%) бензилиденового производного (IX), т. пл. 125°C (хлороформ–гексан),  $[\alpha]_D +160^\circ$  (с 0.5, хлороформ). (См. [9]: т. пл. 129°C,  $[\alpha]_D +155^\circ$  (с 1, хлороформ).) Данные спектра  $^1\text{H}$ -ЯМР приведены в табл. 1. Найдено, %: C 48.25; H 5.00; N 12.90.  $\text{C}_{11}\text{H}_{17}\text{F}_3\text{N}_4\text{O}_6$ . Вычислено, %: C 48.4; H 4.7; N 12.6.

**(3-Трифторацетамидопропил)-2-ацетамило-3-О-(2-ацетамило-3,4,6-три-О-ацетил-2-дезокси- $\alpha$ -D-галактопиранозил)-4,6-О-бензилиден-2-дезокси- $\beta$ -D-галактопиранозид (XIV).** Смесь 140 мг (0.3 ммоль)

соединения (VII), 835 мг (3 ммоль) карбоната серебра, 26 мг перхлората серебра и 2 г молекулярных сит 4 Å в 10 мл дихлорметана выдержали 1 ч при комнатной температуре в токе азота, затем добавили еще 0.5 г сит и в течение 0.5 ч прибавили к смеси раствор 270 мг (0.76 ммоль) 2-азидо-3,4,6-три-О-ацетил-2-дезокси- $\beta$ -D-галактопиранозилхлорида (XI) [15] в 5 мл дихлорметана. Смесь выдерживали 24 ч, затем разбавили хлороформом, профильтровали, фильтрат последовательно промывали водой, раствором бикарбоната натрия, водой, высушивали над сульфатом натрия и упарили. Хроматографией на силикагеле (элюция 30–70% этилакетатом в гексане) выделили 190 мг смеси, содержащей, по данным  $^1\text{H}$ -ЯМР, гликозид (XIII) в качестве основного компонента, 140 мг этой смеси гидрировали и после хроматографии на силикагеле (элюция смесью толуол–ацетон, 10 : 1–2 : 1) выделили 90 мг (53%) ацетамидного производного (XIV), т. пл. 123–125°C (дихлорметан–гексан),  $[\alpha]_D +72^\circ$  (с 1, хлороформ). Данные спектра  $^1\text{H}$ -ЯМР приведены в табл. 2. Найдено, %: C 51.00, H 5.80.  $\text{C}_{34}\text{H}_{44}\text{F}_3\text{N}_3\text{O}_{15}$ . Вычислено, %: C 51.6, H 5.6.

Таблица 5. Данные спектров  $^{13}\text{C}$ -ЯМР соединений (I)–(IV), (Xa) (250 МГц)

Соединение, звено (растворитель)	C1 ( $J_{\text{C}1,\text{H}}$ )	C2	C3	C4	C5	C6	CHO	CCC	CHN
(I)* GalNAc $\alpha$ 1- -3GalNAc $\beta$ 1-Osp (D <sub>2</sub> O)	94.7 102.4	50.6 51.9	68.6 76.3	69.6 64.9	72.6 76.1	62.3 62.3	69.0	29.0	38.0
(II) Gal $\beta$ 1- (161.1)	106.6	72.5	74.6	70.3	76.8	62.5			
-3GalNAc $\beta$ 1-Osp (CD <sub>3</sub> OD) (161.1)	102.6	53.1	81.6	69.6	76.4	62.5	67.5	29.9	38.0
(III)* GalNAc $\alpha$ 1- -3GalNAc $\alpha$ 1-Osp (D <sub>2</sub> O)	94.7 98.3	50.7 49.2	69.0 73.6	69.6 66.1	72.6 72.1	62.5** 62.2**	65.9	28.8	37.9
(IV) Gal $\alpha$ 1- -3GalNAc $\alpha$ 1-Osp (D <sub>2</sub> O)	96.4 98.5	69.4 49.4	70.5 74.2	70.8 66.1	72.1 72.7	62.8** 62.4**	66.0	28.9	38.0
(Xa) GalNAc $\beta$ 1- -Osp (D <sub>2</sub> O)	103.0 (170.9)	53.7	72.3	69.1	72.4	62.3	68.6	29.1	38.0

\* 500 МГц.

\*\* Отнесение сигналов C-6 и C-6' может быть обратным.

(3-Трифторацетамидопропил)-2-азидо-3-O-(2-азидо-3,4,6-три-O-ацетил-2-дезокси- $\alpha$ -D-галактопиранозил)-4,6-O-бензилиден-2-дезокси- $\beta$ -D-галактопиранозид (XV). А. Смесь 300 мг (0.67 ммоль) соединения (VIII), 1.4 г (5.1 ммоль) карбоната серебра, 55 мг перхлората серебра и 2 г молекулярных сит 4 Å в 15 мл дихлорметана выдержали 1 ч при комнатной температуре, затем добавили еще 1 г сит и в течение 0.5 ч прибавили к смеси раствор 590 мг (1.68 ммоль) азидохлорида (XI) в 15 мл дихлорметана. Смесь выдержали 24 ч, затем обработали как описано выше для соединения (XIV). Хроматографией на силикагеле (элюция смесью этилацетат–гексан, 1.5 : 1–2 : 1) выделили 380 мг (70%) биозида (XV), аморфный,  $[\alpha]_D +72^\circ$  (с 1.2, хлороформ). Данные спектра  $^1\text{H}$ -ЯМР приведены в табл. 2.

Б. Аналогично из 160 мг (0.36 ммоль) соединения (VIII) и 3.3 г (0.95 ммоль) азидохлорида (XI) в присутствии 1.05 г (3.8 ммоль) карбоната серебра и 10 мг трифлата серебра получили 0.21 г (77%) биозида (XV).

(3-Трифторацетамидопропил)-2-азидо-3-O-(2-ацетамино-2-дезокси- $\alpha$ -D-галактопиранозил)-2-дезокси- $\beta$ -D-галактопиранозид (XVIII). 170 мг (0.22 ммоль) биозида (XV) гидрировали над 150 мг 10% Pd/C в течение 48 ч. После хроматографии на силикагеле (элюция 3–10% метанолом в хлороформе) выделили 85 мг (50%) бис-ацетамидного производного (XIV) и 80 мг смеси веществ с боль-

шой хроматографической подвижностью (TCX: 8% метанола в хлороформе), из которой после дебензилидирования и O-ацетилирования с последующей хроматографией на силикагеле (элюция 0–5% метанолом в хлороформе) и ВЭЖХ-очисткой (Zorbax Sil, 1% этанола + 2% метанола в хлороформе) выделили как основной компонент (3-трифторацетамидопропил)-2-азидо-3-O-(2-ацетамино-3,4,6-три-O-ацетил-2-дезокси- $\alpha$ -D-галактопиранозил)-4,6-ди-O-ацетил-2-дезокси- $\beta$ -D-галактопиранозид (XVII),  $[\alpha]_D +49^\circ$  (с 1, хлороформ), ИК 2120  $\text{cm}^{-1}$ , масс-спектр: 772 [ $M + 1$ ].  $^{13}\text{C}$ -ЯМР (500 МГц, CDCl<sub>3</sub>): 171.6, 171.2, 171.0 ( $\text{C}_=\text{OCH}_3$ ), 103.6, 98.6 (C1, C1'), 76.7, 71.7, 69.8, 68.4, 68.3, 68.1, 61.8, 48.1 (C2, C2', C3, C3', C4, C4', C5, C5'), 66.7 (CH<sub>2</sub>O), 62.7, 62.4 (C6, C6'), 38.8 (CH<sub>2</sub>N), 29.1 (CC<sub>2</sub>H<sub>2</sub>C), 23.7, 21.4, 21.3 (COCH<sub>3</sub>), данные спектра  $^1\text{H}$ -ЯМР приведены в табл. 2. После дез-O-ацетилирования и ВЭЖХ (Partisil 10, ODS-3, элюция 5–30% ацетонитрилом в воде) выделили аналитическое количество биозида (XVIII),  $[\alpha]_D +113^\circ$  (с 0.26, вода), масс-спектр: 562 [ $M + 1$ ]. Данные спектра  $^1\text{H}$ -ЯМР приведены в табл. 4.

(3-Трифторацетамидопропил)-2-ацетамино-3-O-(2-ацетамино-2-дезокси- $\alpha$ -D-галактопиранозил)-2-дезокси- $\beta$ -D-галактопиранозид (I). 14 мг (18 мкмоль) биозида (XIV) дебензилидировали, остаток после удаления растворителей выдержали в вакуум-эксикаторе над щелочью. Дез-O-ацетилированием

с последующей ВЭЖХ-очисткой продукта (Partisil 10, ODS-3, элюция 2–25% ацетонитрилом в воде) выделили 8 мг (77%) биозида (I), аморфный,  $[\alpha]_D +101^\circ$  (с 0.5, вода), масс-спектр: 578 [M + 1], данные спектров  $^1\text{H}$ - и  $^{13}\text{C}$ -ЯМР приведены в табл. 4 и 5 соответственно. Для аналитических целей последовательным дебензилидированием и ацетилированием соединения (XIV) было получено производное дисахарида Форссмана (3-трифторацетамидопропил)-2-ацетамидо-3-O-(2-ацетамидо-3,4,6-три-O-ацетил-2-дезокси- $\alpha$ -D-галактопиранозил)-4,6-ди-O-ацетил-2-дезокси- $\beta$ -D-галактопиранозид (XIX), аморфное,  $[\alpha]_D +40^\circ$  (с 1, хлороформ), масс-спектр: 788 [M + 1].  $^{13}\text{C}$ -ЯМР (500 МГц,  $\text{CDCl}_3$ ): 172.5, 172.3, 172.1, 171.3, 171.2, 171.0 ( $\underline{\text{C}}\text{OCH}_3$ ), 100.9, 100.4 (C1, C1'), 71.3, 70.9, 68.3, 67.9, 67.8, 66.1, 55.3, 48.0 (C2, C2', C3, C3', C4, C4', C5, C5'), 68.8 ( $\text{CH}_2\text{O}$ ), 62.8, 62.0 (C6, C6'), 38.4 ( $\text{CH}_2\text{N}$ ), 29.1 ( $\underline{\text{C}}\text{CH}_2\text{C}$ ), 24.2, 23.6, 21.5, 21.4, 21.3 ( $\text{COCH}_3$ ), данные спектра  $^1\text{H}$ -ЯМР приведены в табл. 2.

**(3-Трифторацетамидопропил)-2-ацетамидо-3-O-( $\beta$ -D-галактопиранозил)-2-дезокси- $\beta$ -D-галактопиранозид (III).** А. 370 мг (0.82 ммоль) соединения (VII), 2 г молекулярных сит 4 Å, 0.12 мкл (1.0 ммоль) тетраметилмочевины и 0.26 г (1.0 ммоль) трифлата серебра в 25 мл дихлорметана выдерживали 0.5 ч при комнатной температуре в токе азота, затем в течение 3 ч прибавили раствор 440 мг (1.3 ммоль) ацетобромгалактозы (XIb) в 10 мл дихлорметана. Смесь выдержали 24 ч и затем прибавили еще 160 мг (0.6 ммоль) трифлата серебра, 70 мкл (0.6 ммоль) тетраметилмочевины и раствор 240 мг (0.6 ммоль) ацетобромгалактозы. Через 24 ч смесь обработали как описано выше для соединения (XIV), остаток хроматографировали на силикагеле (элюция 3–10% метанолом в хлороформе); полученные 320 мг (50%) дисахарида (XX) дебензилидировали и ацетилировали. Хроматографией на силикагеле (элюция смесью толуол–ацетон, 3 : 1–1 : 1) выделили 290 мг (45%, считая на соединение (VII)) гексаацетата (XXI), идентичного полученному ранее [9]. Данные спектра  $^1\text{H}$ -ЯМР приведены в табл. 2.

Б. 1.1 г (2.48 ммоль) соединения (VII), 5 г молекулярных сит 4 Å, 0.43 мкл (3.72 ммоль) тетраметилмочевины и 0.96 г (3.72 ммоль) трифлата серебра в 50 мл дихлорметана выдержали 0.5 ч при комнатной температуре в токе азота, затем в течение 3 ч прибавили раствор 2.04 г (4.96 ммоль) ацетобромгалактозы в 10 мл дихлорметана. Смесь выдерживали 24 ч и затем прибавили еще 1 г ацетобромгалактозы. Через 24 ч смесь обработали и после хроматографии на силикагеле (элюция 5–30% этилацетатом в бензоле) выделили 1.49 г (78%) дисахарида (XXII), из которого последовательным дебензилидированием, превращением азидной

группы в ацетамидную и ацетилированием получили соединение (XXI). Перацетат (XXI) дез-О-ацетилировали, получая биозид (II) с количественным выходом. Аналитический образец дополнительно очищали ВЭЖХ (элюция 5–40% метанолом в воде); аморфное,  $[\alpha]_D -16^\circ$  (с 0.2, метанол). Данные спектров  $^1\text{H}$ - и  $^{13}\text{C}$ -ЯМР приведены в табл. 4 и 5 соответственно.

**(3-Трифторацетамидопропил)-2-азидо-3-O-(2-азидо-3,4,6-три-O-ацетил-2-дезокси- $\alpha$ -D-галактопиранозил)-4,6-O-бензилиден-2-дезокси- $\alpha$ -D-галактопиранозид (XXIII).** По методике, приведенной выше для соединения (XIV), гликозилировали 450 мг (1 ммоль) соединения (IX) азидохлоридом (XI) (875 мг, 2.5 ммоль) в присутствии 2.8 г (10 ммоль) карбоната серебра, 80 мг перхлората серебра и 3.5 г молекулярных сит 4 Å. После хроматографии на силикагеле (элюция смесью этилацетат–гексан, 1.5 : 1–2 : 1) выделили 740 мг (95%) биозида (XXIII), т. пл. 158°C,  $[\alpha]_D +232^\circ$  (с 1, хлороформ). Данные спектра  $^1\text{H}$ -ЯМР приведены в табл. 2. Найдено, %: C 47.44; H 4.92; N 13.2.  $\text{C}_{30}\text{H}_{36}\text{F}_3\text{N}_7\text{O}_{13}$ . Вычислено, %: C 47.6; H 4.8; N 12.9.

**(3-Трифторацетамидопропил)-2-ацетамидо-3-O-(2-ацетамидо-2-дезокси- $\alpha$ -D-галактопиранозил)-2-дезокси- $\alpha$ -D-галактопиранозид (III).** А. 47 мг (59 мкмоль) биозида (XXIII) гидрировали, остаток дебензилидировали и после удаления растворителей выдержали в вакуум-экскаторе над щелочью. Получили бис-ацетамидное производное (XXIV),  $[\alpha]_D +148^\circ$  (с 0.25, метанол), из которого после дез-О-ацетилирования с последующей ВЭЖХ-очисткой (Partisil 10, ODS-3, элюция 5–30% ацетонитрилом в воде) выделили 20 мг (60%) биозида (III), аморфный,  $[\alpha]_D +162^\circ$  (с 1, вода), масс-спектр: 578 [M + 1]. Данные спектров  $^1\text{H}$ - и  $^{13}\text{C}$ -ЯМР приведены в табл. 4 и 5 соответственно.

Б. 60 мг (75 мкмоль) соединения (XXIII) дебензилидировали и после хроматографии на силикагеле (элюция 0–4% метанолом в хлороформе) выделили 35 мг (66%) диола (XXIIIa), из которого после гидрирования получили 36 мг (87%) бис-ацетамидного производного (XXIV). Дез-О-ацетилирование с последующей ВЭЖХ-очисткой (колонка 10 × 250 мм, Ultrasphere ODS, 5 мкм (Beckman), элюция 5–35% ацетонитрилом в воде) дало 26 мг (60% считая на (XXIII)) соединения (III).

**(3-Трифторацетамидопропил)-2-ацетамидо-3-O-( $\alpha$ -D-галактопиранозил)-2-дезокси- $\alpha$ -D-галактопиранозид (IV).** 450 мг (1.0 ммоль) соединения (IX), 0.76 г (3 ммоль) цианида ртути и 2 г молекулярных сит 4 Å в 50 мл бензола перемешивали 1 ч в токе аргона при 20°C. Затем прибавили в течение 1 ч раствор 3 ммоль 2,3,4,6-тетра-O-бензил- $\alpha$ -D-галактопиранозилбромида (XIc) [19] в 10 мл бензола и еще 1 г сит 4 Å и перемешивали 30 ч при комнатной температуре. Смесь разбавили хлороформом, профильтровали и упарили. Остаток растворили в

хлороформе, последовательно промыли растворами иодида калия, бикарбоната натрия, водой, профильтровали через слой ваты и хроматографировали на силикагеле (элюция смесью толуол–ацетон, 15 : 1–2 : 1). Выделили 870 мг (90%) смеси  $\alpha$ -биозида (XXV) и  $\beta$ -биозида (XXVb) (соотношение аномеров, определенное ВЭЖХ (Partisil 10, элюция смесью толуол–ацетон, 15 : 1–2 : 1), составило 6 : 1), а также аналитическое количество индивидуального  $\alpha$ -производного (XXV) ( $[\alpha]_D + 150^\circ$  (с 0.9, хлороформ), данные спектра  $^1\text{H}$ -ЯМР приведены в табл. 2). 870 мг (0.9 ммоль) смеси биозидов (XXV) и (XXVb) дебензилидировали и после хроматографии на силикагеле (элюция смесью толуол–ацетон, 4 : 1) выделили 700 мг (90%) продуктов дебензилидирования: 290 мг гомогенного  $\alpha$ -биозида (XXVc) и 410 мг смеси  $\alpha$ - и  $\beta$ -биозидов (XXVc и XXVd). 410 мг (0.46 ммоль) этой смеси подвергали гидрогенолизу, полученную смесь  $\alpha$ - и  $\beta$ -биозидов (IV и IVb) разделили ВЭЖХ (Силасорб C18, элюция 5–40% метанолом в воде), выделили 50 мг (20%) дисахарида Gal $\beta$ 1-3GalNAc $\alpha$ 1-Osp (IVb) [14] и 140 мг (57%) биозида (IV), т. пл. 240°C (этанол– этилацетат),  $[\alpha]_D + 156^\circ$  (с 0.5, вода) (см. [8]: аморфное,  $[\alpha]_D + 101^\circ$  (с 0.4, вода)). Данные спектров  $^1\text{H}$ - и  $^{13}\text{C}$ -ЯМР приведены в табл. 4 и 5 соответственно. Найдено, %: С 42.25; Н 5.94; N 4.92.  $C_{19}H_{31}F_3N_2O_{12}$ . Вычислено, %: С 42.5; Н 5.8; N 5.2.

**Бензил-2-ацетамидо-3-О-(2,3,4,6-тетра-О-бензил- $\alpha$ -D-галактопиранозил)-4,6-О-бензилиден-2-дезокси- $\alpha$ -D-галактопиранозид (XXVII).** 155 мг (0.39 ммоль) бензил-2-ацетамидо-4,6-О-бензилиден-2-дезокси- $\alpha$ -D-галактопиранозида (XXVI) [17], 980 мг (3.9 ммоль) цианида ртути и 2 г молекулярных сит 4 Å в 10 мл бензола перемешивали 1 ч в токе аргона при 20°C. Затем прибавили в течение 3 ч раствор 1 ммоль бромида (XIc) [19] в 5 мл бензола и еще 0.5 г сит и перемешивали 30 ч при комнатной температуре. Смесь обработали как описано выше для соединения (XXV) и после хроматографии на силикагеле (элюция смесью гексан– этилацетат, 5 : 1–1 : 1) выделили 310 мг (85%) биозида (XXVII), т. пл. 191°C,  $[\alpha]_D + 143^\circ$  (с 1, хлороформ). Данные спектра  $^1\text{H}$ -ЯМР приведены в табл. 3. Найдено, %: С 72.94; Н 6.44.  $C_{56}H_{59}NO_{11}$ . Вычислено, %: С 73.2; Н 6.5.

**2-Ацетамидо-2-дезокси-3-О-( $\alpha$ -D-галактопиранозил)-D-галактопираноза (V).** 40 мг (42 мкмоль) соединения (XXVII), 9 мг (50 мкмоль) перхлората пиридиния кипятили 5 ч в смеси 3.5 мл абс. метанола и 0.8 мл абс. нитрометана. Затем в реакционную смесь прибавили 0.5 мл пиридина и упарили. Остаток на стенках колбы промыли гексаном, растворили в хлороформе и хроматографировали на колонке с силикагелем (элюция смесью толуол–ацетон, 5 : 1–2 : 1). Полученный диол (XXVIII) (26 мг, 72%) подвергали гидрогенолизу в течение

1 сут в 10 мл смеси метанол–уксусная кислота, 8 : 1, над 50 мг 10% Pd/C. Гель-хроматографией (TSK HW-40, колонка 1.5 × 30 см, элюция водой) выделили 12 мг (80%)  $\alpha$ -бензилгликозида (XXIX),  $[\alpha]_D + 150^\circ$  (с 0.2, метанол), данные спектра  $^1\text{H}$ -ЯМР перацетата (XXX) приведены в табл. 3. 12 мг бензилгликозида (XXIX) повторно подвергали гидрогенолизу в тех же условиях в течение 2 нед, периодически поднимая температуру до 40°C. После двукратной гель-хроматографии (TSK HW-40, колонка 2 × 55 см, первый раз – элюция метанолом, второй – водой) выделили 3 мг исходного бензилгликозида (XXIX) и 7 мг свободного дисахарида (V),  $[\alpha]_D + 151^\circ$  (с 1, метанол),  $[\alpha]_D + 121^\circ$  (с 0.7, вода, 1 сут). Данные спектра  $^1\text{H}$ -ЯМР приведены в табл. 6.

**Бензил-3-О-(2-азидо-3,4,6-три-О-ацетил-2-дезокси- $\alpha$ -D-галактопиранозил)-2-ацетамидо-4,6-О-бензилиден-2-дезокси- $\alpha$ -D-галактопиранозид (XXXI).** Смесь 200 мг (0.5 ммоль) соединения (XXVI), 1.38 г (5 ммоль) карбоната серебра, 40 мг перхлората серебра и 2 г молекулярных сит 4 Å в 10 мл дихлорметана выдерживали 1 ч при комнатной температуре в токе азота, затем добавили еще 0.5 г сит и в течение 0.5 ч прибавили к смеси раствор 350 мг (1 ммоль) азидохлорида (XI) в 5 мл дихлорметана. Смесь выдерживали 24 ч, обработали и хроматографией на силикагеле (элюция толуолом, затем смесью толуол–ацетон, 6 : 1–4 : 1) выделили 200 мг (56%) смеси  $\alpha$ - и  $\beta$ -биозидов (XXXI) и (XXXIb) в соотношении  $\alpha$  :  $\beta$  92 : 8. Аномеры были разделены ВЭЖХ (Partisil 10, элюция смесью толуол–ацетон). Характеристики соединения (XXXI): т. пл. 180–181°C (хлороформ–ацетон–гексан),  $[\alpha]_D + 205^\circ$  (с 0.5, хлороформ), данные спектра  $^1\text{H}$ -ЯМР приведены в табл. 3. Найдено, %: С 57.50; Н 5.95; N 7.85.  $C_{34}H_{40}N_4O_{13}$ . Вычислено, %: С 57.3; Н 5.7; N 7.9.

**Биозид (XXXIb):**  $[\alpha]_D + 112^\circ$  (с 0.3, хлороформ), данные спектра  $^1\text{H}$ -ЯМР приведены в табл. 3.

**Бензил-2-ацетамидо-3-О-(2-ацетамидо-2-дезокси- $\alpha$ -D-галактопиранозил)-2-дезокси- $\alpha$ -D-галактопиранозид (XXXII).** 68 мг (95 мкмоль) соединения (XXXI) дебензилидировали, остаток после удаления растворителей высушали в вакуум-экскаторе над щелочью. Дез-О-ацетилирование и последующая хроматографическая очистка продукта на колонке с силикагелем (элюция 5% метанолом в хлороформе) дали 43 мг вещества, 40 мг которого подвергали гидрогенолизу в смеси 20 мл метанола и 1 мл уксусного ангидрида над 40 мг 10% Pd/C в течение 24 ч. Раствор профильтровали, упарили, профильтровали через тонкий слой силикагеля (элюция 30% метанолом в хлороформе). Выделили 35 мг (80%) ацетамидного производного (XXXII), гомогенного по ВЭЖХ. Аналитический образец получен после ВЭЖХ-очистки (Partisil 10, ODS-3, элюция 10–50% метанолом в

Таблица 6. Данные спектров  $^1\text{H}$ -ЯМР дисахаридов (V) и (VI) ( $\text{D}_2\text{O}$ , 250 МГц)\*

Соединение	Звено	H-1 ( $J_{1,2}$ )	H-2 ( $J_{2,3}$ )	H-3 ( $J_{3,4}$ )	H-4 ( $J_{4,5}$ )	H-5
(V), $\alpha$ -аномер	Gal $\alpha$ 1-	5.13д (3.5)	3.83дд (10.5)	3.75дд (3.0)	3.99д (1.0)	—
	-3GalNAc $\alpha$	5.22д (3.5)	4.35дд (11.0)	4.02дд (3.0)	4.25д (<1.0)	4.11м
	Gal $\beta$ 1-	5.15д (3.5)	3.83дд (10.5)	3.75дд (3.0)	3.99д (1.0)	—
		-3GalNAc $\beta$	4.74д (8.5)	4.04дд (11.0)	3.82дд (3.0)	4.19д (<1.0)
(VI), $\alpha$ -аномер	GalNAc $\alpha$ 1-	5.04д (3.7)	4.19дд (11.0)	3.75дд (3.0)	3.98д (<1.0)	3.81м
	-3GalNAc $\alpha$	5.19д (3.5)	4.32дд (11.0)	3.96дд (3.0)	4.15д (<1.0)	4.05м
	GalNAc $\beta$ 1-	5.06д (3.7)	4.19дд (11.0)	3.74дд (3.0)	3.98д (<1.0)	3.81м
		-3GalNAc $\beta$	4.70д (8.5)	4.00дд (11.0)	3.75дд (3.0)	4.09д (<1.0)

\* Отнесение сигналов сделано с помощью двумерной спектроскопии COSY. Сигналы H-6а и H-6б: 3.7–3.8 м. д., сигналы  $\text{CH}_3\text{CO}$ -группы: 2.08 (соединение (V)), 2.01, 2.04, 2.05 (соединение (VI)).

воде или 2–40% ацетонитрилом в воде),  $[\alpha]_D +213^\circ$  (с 0.5, вода). Данные спектра  $^1\text{H}$ -ЯМР приведены в табл. 3.

**2-Ацетамидо-2-дезокси-3-O-(2-ацетамидо-2-дезокси- $\alpha$ -D-галактопиранозил)-D-галактопираноза (VI). 10 мг бензилгликозида (XXXII) подвергали гидрогенолизу в 10 мл смеси метанол–уксусная кислота, 1 : 1, над 30 мг 10% Pd/C в течение 5 ч при 40–50°C, а затем 5 дней при комнатной температуре. После ВЭЖХ-очистки (Partisil 10, ODS-3, элюция водой) выделили 6.5 мг (80%) свободного дисахарида (VI),  $[\alpha]_D +143^\circ$  (с 0.5, вода, 1 сут). Данные спектра  $^1\text{H}$ -ЯМР приведены в табл. 6.**

#### СПИСОК ЛИТЕРАТУРЫ

- Leppanen A., Korvuo A., Puro K., Renkonen O. // Carbohydr. Res. 1986. V. 153. P. 87–95.
- Sudduigi B., Hakomori S. // J. Biol. Chem. 1971. V. 246. P. 5766–5769.
- Kurosaka A., Nakajima H., Funakoshi I., Matsuyama M., Nagayo T., Yamashita I. // J. Biol. Chem. 1983. V. 258. P. 11594–11598.
- Paulsen H., Aderman K. // Carbohydr. Res. 1988. V. 175. P. 163–172.
- Nilsson U., Ray A.K., Magnusson G. // Carbohydr. Res. 1994. V. 252. P. 137–148.
- Paulsen H., Jacquinet J.-C., Rust W. // Carbohydr. Res. 1982. V. 104. P. 195–219.
- Jacquinet J.-C., Paulsen H. // Tetrahedron Lett. 1981. V. 22. P. 1387–1390.
- Землянухина Т.В., Бовин Н.В., Байрамова Н.Э. // Докл. АН СССР. 1988. Т. 299. С. 129–131.
- Бовин Н.В., Землянухина Т.В., Хорлин А.Я. // Биоорган. химия. 1985. Т. 11. С. 1256–1264.
- Bovin N.V., Korchagina E.Yu., Zemlyanukhina T.V., Byramova N.E., Galanina O.E., Zemlyakov A.E., Ivanov A.E., Zubov V.P., Mochalova L.V. // Glycoconj. J. 1993. V. 10. P. 142–151.
- Галанина О.Е., Дерюгина Е.И., Оловникова Н.И., Носырев А.Е., Лапенков М.И., Чекнева Н.Б., Землянухина Т.В., Корчагина Е.Ю., Бовин Н.В. // Биоорган. химия. 1991. Т. 17. С. 1177–1187.
- Галанина О.Е., Падманабхан С., Корчагина Е.Ю., Землянухина Т.В., Демин В.В., Бовин Н.В. // Биоорган. химия. 1992. Т. 18. С. 1177–1187.
- Abramenko I.V., Gluzman D.F., Korchagina E.Yu., Zemlyanukhina T.V., Bovin N.V. // FEBS Lett. 1992. V. 307. P. 283–286.

14. Бовин Н.В., Землянухина Т.В., Хорлин А.Я. // Био-орган. химия. 1986. Т. 12. С. 533–538.
15. Lemieux R.U., Ratcliffe R.M. // Can. J. Chem. 1979. V. 57. P. 1244–1251.
16. Шипова Е.В., Корчагина Е.Ю., Землянухина Т.В., Галанина О.Е., Бовин Н.В. // Биоорганическая химия. 1993. Т. 19. С. 1095–1101.
17. Flowers H.M., Shapiro D. // J. Org. Chem. 1965. V. 30. P. 2041–2043.
18. Байрамова Н.Э., Бакиновский Л.В., Кочетков Н.К. // Изв. АН СССР. Сер. хим. 1985. С. 1140–1145.
19. Lönn H. // Carbohydr. Res. 1985. V. 139. P. 105–113.

## Synthesis of Terminal Disaccharide of Forssman's Antigen and Some of Its Analogs as Spaced Glycosides and Free Disaccharides

T. V. Ovchinnikova, A. G. Ter-Grigoryan, G. V. Pazynina, and N. V. Bovin

*Shemyakin-Ovchinnikov Institute of Bioorganic Chemistry, Russian Academy of Sciences,  
ul. Miklukho-Maklaya 16/10, GSP-7 Moscow, 117871 Russia*

**Abstract**—Spaced terminal disaccharide of Forssman's antigen  $\text{GalNAc}\alpha 1\text{-}3\text{GalNAc}\beta 1\text{-Osp}$ , its analog  $\text{GalNAc}\alpha 1\text{-}3\text{GalNAc}\alpha 1\text{-Osp}$ , and disaccharides  $\text{Gal}\beta 1\text{-}3\text{GalNAc}\beta 1\text{-Osp}$  and  $\text{Gal}\alpha 1\text{-}3\text{GalNAc}\alpha 1\text{-Osp}$  [where sp denotes the  $(\text{CH}_2)_3\text{NHCOCF}_3$  spacer] were synthesized. Spaced disaccharides were obtained from the (3-trifluoroacetamidopropyl)-2-acetamido-4,6-*O*-benzylidene-2-deoxy- $\beta$ -*D*-galactopyranoside and its  $\alpha$ - and  $\beta$ -analogs in which the 2-azido group was substituted for the 2-acetamido group. The azide glycosyl acceptors gave higher yields of the disaccharides. Azide glycosyl acceptors were prepared by the stereoselective glycosylation of 3-trifluoroacetamidopropanol with a mixture of 1-*O*-acetates of the 2-azido-3,4,6-tri-*O*-acetyl-2-deoxy-*D*-galactopyranose anomers in the presence of Lewis acids. Disaccharides  $\text{Gal}\alpha 1\text{-}3\text{GalNAc}$  and  $\text{GalNAc}\alpha 1\text{-}3\text{GalNAc}$  were obtained from the benzyl 2-acetamido-4,6-*O*-benzylidene-2-deoxy- $\alpha$ -*D*-galactopyranoside.

**Key words:** tumor-associated antigens, Forssman's antigen; oligosaccharide synthesis.